

УДК 534.1

© 2002 г. Л.Д. АКУЛЕНКО, Л.И. КОРОВИНА, С.В. НЕСТЕРОВ

## **АВТОКОЛЕБАНИЯ СУЩЕСТВЕННО НЕЛИНЕЙНОЙ СИСТЕМЫ**

Исследуются автоколебания сильно нелинейной системы, возвращающая сила которой описывается нечетной, в частности кубической функцией смещения. Механизм возбуждения принимается стандартного вида, как в осцилляторе Ван дер Поля. Для малых и умеренно больших значений коэффициента обратной связи разработан эффективный численно-аналитический метод расчета основных характеристик колебаний: периода, амплитуды, траектории и предельного цикла. Проведен анализ автоколебаний; установлены механические эффекты, имеющие качественный характер.

**1. Постановка задачи.** Автоколебательные процессы присущи объектам различной физической природы [1]. Их исследование представляет значительный научный и прикладной интерес для многих областей техники и естествознания, в частности, для механики и радиофизики. Имеется обширная литература, посвященная качественным, аналитическим и численным методам исследования автоколебаний, см. например монографии [1–8] и библиографию к ним. Разработанные качественные и топологические методы для динамических систем на фазовой плоскости дают критерии (достаточные условия) существования предельных циклов (автоколебаний). Положение и форма предельного цикла могут быть приближенно определены с помощью фазовой плоскости, например, методом изоклин [2–6]. В случае квазилинейной автоколебательной системы широко применяются приближенные аналитические методы нелинейной механики (методы малого параметра Ляпунова–Пуанкаре, метод усреднения Крылова – Боголюбова и др.) [2, 6, 7]. Если коэффициент обратной связи есть асимптотически большая величина, то имеет место сингулярно возмущенная автоколебательная система, совершающая релаксационные колебания. В этом случае предельный цикл строится с помощью метода "припасовывания" А.А. Дородницына [5] и методов теории релаксационных колебаний [8].

Для приложений, однако, значительный интерес представляют автоколебания систем для умеренных значений коэффициента обратной связи. Исследование таких существенно нелинейных задач требует разработки эффективных численно-аналитических подходов.

В отличие от хорошо изученных случаев осцилляторов типа Ван дер Поля или Рэля [2,5–7], содержащих линейную возвращающую силу, рассмотрим автоколебания сильно нелинейной системы вида

$$m\ddot{x} + cx^{2k-1} - ax + bx^2\dot{x} = 0, \quad k = 1, 2, \dots, m, c, a, b > 0 \quad (1.1)$$

Здесь параметр  $m$  определяет инерционную характеристику объекта,  $c$  – коэффициент возвращающей силы (при  $k = 1$  линейной, при  $k = 2$  кубической и т.д.); параметры  $a, b$  задают обратную связь в системе. Отметим, что нелинейная возвращающая сила может быть реализована с помощью линейных элементов (за счет геометрической нелинейности) [9, 10].

Уравнение (1.1) содержит четыре размерных параметра. Приведем его к стандартному виду посредством преобразований к безразмерным переменным

$$\tau = vt, \quad u = \frac{x}{l}, \quad v = \sqrt{\frac{c}{m} \left(\frac{a}{b}\right)^{\frac{k-1}{2}}}, \quad l = \sqrt{\frac{a}{b}}, \quad \varepsilon = \frac{a}{\sqrt{cm}} \left(\frac{a}{b}\right)^{\frac{k-1}{2}}$$

$$u'' + u^{2k-1} - \varepsilon(1 - u^2)u' = 0. \quad (1.2)$$

Здесь  $v, l$  – параметры преобразования;  $\varepsilon > 0$  имеет смысл коэффициента обратной связи; штрихами обозначены производные по аргументу  $\tau$ . В частности, при  $k = 1$  уравнение (1.2) совпадает с общеизвестным для осциллятора Ван дер Поля [2–8]. Колебания осциллятора хорошо исследованы и описаны в классической литературе, см. выше. Далее основное внимание при исследовании автоколебаний системы (1.2) уделяется случаю  $k = 2$  и, в меньшей мере, случаю  $k = 3$ . Представляет интерес сравнение периодов и амплитуд колебаний, формы предельных циклов и других характеристик движения, отвечающих различным значениям коэффициента  $k$ , для малых и умеренно больших величин параметра  $\varepsilon$ .

На фазовой плоскости  $(u, v)$ ,  $v = u'$ , система (1.2) описывается уравнением

$$dv / du = \varepsilon(1 - u^2) - u^{2k-1} / v \quad (1.3)$$

Построение устойчивого предельного цикла для любого фиксированного значения  $\varepsilon > 0$  связано с определением замкнутой неоднозначной кривой  $v = v(u, \varepsilon)$  уравнения (1.3), что нетривиально. Из полученного соотношения, однако, следует весьма полезный для дальнейшего факт: устойчивый при  $t \rightarrow \infty$  предельный цикл, поскольку он существует [2–8], удовлетворяет условию центральной симметрии:  $v(-u, \varepsilon) = -v(u, \varepsilon)$ , так как уравнение (1.3) не изменится при замене  $v \rightarrow -v$  и  $u \rightarrow -u$ .

**2. Применение метода возмущений.** Для достаточно малых значений  $\varepsilon > 0$  используем методы Ляпунова – Пуанкаре [2, 11] с целью дальнейшего применения численно-аналитических методов ускоренной сходимости и процедуры продолжения по параметру  $\varepsilon$ ,  $0 < \varepsilon \leq 10$ . В соответствии с подходом Пуанкаре [11] вводится "возмущенный" аргумент  $\theta$  таким образом, чтобы период  $\Theta$  автоколебаний по  $\theta$  был фиксирован, в частности,  $\Theta = 1$ ; имеем нелинейную периодическую краевую задачу:

$$u'' + (T/\Theta)^2 u^{2k-1} - \varepsilon(T/\Theta)(1 - u^2)u' = 0$$

$$u(0) = u(\Theta), \quad u'(0) = u'(\Theta)$$

$$\theta = (t\Theta)/T, \quad u(\theta + \Theta, \varepsilon) \equiv u(\theta, \varepsilon) \quad (2.1)$$

Искомое решение  $u(\theta, \varepsilon)$ ,  $T = T(\varepsilon)$  строится разложениями или последовательными приближениями по степеням малого параметра  $\varepsilon$ . В первом приближении по  $\varepsilon$  амплитуда  $A(\varepsilon)$  и период  $T(\varepsilon)$  определяются соотношениями:

$$TA^{k-1} = 4\sqrt{k} \int_0^1 \frac{dz}{\sqrt{1-z^{2k}}} = \frac{2}{\sqrt{k}} B\left(\frac{1}{2k}, \frac{1}{2}\right) \quad (2.2)$$

$$A^2 \int_0^1 z^2 \sqrt{1-z^{2k}} dz = \int_0^1 \sqrt{1-z^{2k}} dz, \quad A^2 B\left(\frac{3}{2k}, \frac{3}{2}\right) = B\left(\frac{1}{2k}, \frac{3}{2}\right)$$

Здесь  $B$  – бета-функция Эйлера, зависящая от степени нелинейности  $k = 1, 2, 3, \dots$ . Разрешая второе независимое уравнение (2.2) относительно неизвестной  $A$ , получим из условия "энергетического баланса" искомую амплитуду автоколебаний ( $\Gamma$  – гамма-функция Эйлера):

$$A^* = [\Gamma(1/(2k))/\Gamma(3/(2k))]^{1/2} [\Gamma(3/(2k) + 3/2)/\Gamma(1/(2k) + 3/2)]^{1/2} \quad (2.3)$$

с погрешностью  $O(\varepsilon)$ . Аналогично из первого уравнения определим невозмущенный (с ошибкой  $O(\varepsilon)$ ) период автоколебаний

$$T^* = \frac{2}{\sqrt{k}} B\left(\frac{1}{2k}, \frac{1}{2}\right) / (A^*)^{k-1} \quad (2.4)$$

Величины  $A^*$  (2.3),  $T^*$  (2.4) рассматриваются далее как начальные приближения при достаточно малом  $\varepsilon > 0$  в численно-аналитической процедуре продолжения по параметру  $\varepsilon$ , основанной на модифицированном методе ускоренной сходимости [12].

**3. Алгоритмы метода ускоренной сходимости.** Построение  $\Theta$  – периодического решения уравнения (2.1) связано с определением неизвестного параметра  $T(\varepsilon)$  и начальных данных  $u(0)$ ,  $u'(0)$ . Вследствие автономности и установленной антисимметричности периодическую краевую задачу (2.1) можно представить в виде эквивалентной нелинейной краевой задачи на интервале  $0 \leq \theta \leq \Theta/2$ :

$$u(0) = u(\Theta/2) = 0; \quad T = T(\varepsilon), \quad u'(0) = -u'(\Theta/2) = p(\varepsilon) \quad (3.1)$$

Решение задачи (3.1) определяет "правую половину" предельного цикла. Согласно (3.1) требуется найти два неизвестных параметра  $T, p$  для фиксированного значения  $\varepsilon > 0$ . Пусть имеются достаточно точные оценки  $T^*, p^*$  искомых величин, определяющих периодическое движение системы как решение соответствующей задачи Коши. Тогда уточняющая рекуррентная процедура имеет вид

$$T_{(n+1)}(\varepsilon) = T_{(n)}(\varepsilon) + \delta T_{(n)}(\varepsilon), \quad p_{(n+1)}(\varepsilon) = p_{(n)}(\varepsilon) + \delta p_{(n)}(\varepsilon) \quad (n = 0, 1, 2, 3, \dots)$$

$$T_{(0)} = T^*, \quad p_{(0)} = p^* \quad (3.2)$$

В частности, при  $\varepsilon \ll 1$  начальные оценки равны

$$T^* = \frac{2}{\sqrt{k}} \frac{B(1/2k, 1/2)}{(A^*)^{k-1}}, \quad p^* = \frac{2A^*}{k\Theta} B\left(\frac{1}{2k}, \frac{1}{2}\right) \quad (3.3)$$

Величины  $T^*, A^*$  в (3.3) определены согласно методу возмущений формулами (2.3), (2.4). Уточняющие добавки  $\delta T_{(n)}, \delta p_{(n)}$  вычисляются из условия обнуления невязок по  $u, u' + p$  при  $\theta = \Theta/2$  (3.1):

$$\delta T_{(n)}(\varepsilon) = [U_n W_n' - (U_n' + p_{(n)}) W_n] / \Delta_n$$

$$\delta p_{(n)}(\varepsilon) = [(U_n' + p_{(n)}) Z_n - U_n (Z_n' + 1)] / \Delta_n$$

$$\Delta_n = W_n (Z_n' + 1) - W_n' Z_n \neq 0 \quad (3.4)$$

Здесь коэффициенты чувствительности  $W_n, Z_n, W_n', Z_n'$  и невязки решения  $U_n, U_n' + p_{(n)}$  определяются через решения задачи Коши следующим образом:

$$u'' + (T_{(n)}/\Theta)^2 u^{2k-1} - \varepsilon (T_{(n)}/\Theta)(1-u^2)u' = 0, \quad u(0) = 0, \quad u'(0) = p_{(n)}$$

$$w'' + (T_{(n)}/\Theta)^2 (2k-1)u^{2k-1}w - \varepsilon (T_{(n)}/\Theta)((1-u^2)w' - 2uu'w) = 0$$

$$w = \partial u / \partial p, \quad w(0) = 0, \quad w'(0) = 1$$

$$z'' + (T_{(n)}/\Theta)^2 (2k-1)u^{2k-1}z - \varepsilon (T_{(n)}/\Theta)((1-u^2)z' - 2uu'z) + 2(T_{(n)}/\Theta)^2 u^{2k-1} -$$

$$-(\varepsilon/\Theta)(1-u^2)u' = 0$$

$$z = \partial u / \partial T, \quad z(0) = z'(0) = 0$$

$$U_n = U(\Theta/2, T_{(n)}, p_{(n)}, \varepsilon), \quad W_n = W(\Theta/2, T_{(n)}, p_{(n)}, \varepsilon), \quad Z_n = Z(\Theta/2, T_{(n)}, p_{(n)}, \varepsilon) \quad (3.5)$$

Алгоритм (3.2)–(3.5) обладает свойством ускоренной (квадратичной) сходимости по отношению к невязкам  $\rho \cdot u, u' + p$  при  $\theta = \Theta/2$ . На начальном этапе при  $\varepsilon = \varepsilon_1 \ll 1$  в качестве нулевого приближения  $T_{(0)}, p_{(0)}$  искомым величин  $T, p$  используются значения  $T^*, p^*$  (3.3) – первые приближения по методу возмущений. Несколько итераций (обычно две – три) позволяют найти величины  $T_1 = T(\varepsilon_1), p_1 = p(\varepsilon_1)$  с достаточной точностью (погрешностью порядка  $\varepsilon^4 - \varepsilon^8$ ).

На следующем шаге процедуры продолжения по параметру  $\varepsilon$  найденные значения  $T_1, p_1$  принимаются в качестве начальных приближений  $T_{(0)}(\varepsilon_2), p_{(0)}(\varepsilon_2)$ , где  $\varepsilon_2 = \varepsilon_1 + \delta\varepsilon_2$  достаточно близко к  $\varepsilon_1$ ; малым параметром считается  $\delta\varepsilon_2$ . Затем, на основе уточненных значений  $T_2 = T(\varepsilon_2), p_2 = p(\varepsilon_2)$  строятся оценки  $T_{(n)}(\varepsilon_3), p_{(n)}(\varepsilon_3)$ , где  $\varepsilon_3 = \varepsilon_2 + \delta\varepsilon_3$ , и т.д. Таким способом могут быть получены искомые значения параметров  $T_{(i)}(\varepsilon_i), p_{(i)}(\varepsilon_i)$  ( $i = 1, 2, \dots, N$ ) для достаточно плотного множества значений  $\varepsilon \in \{\varepsilon_i\}$  на требуемом интервале значений коэффициента  $\varepsilon, 0 \leq \varepsilon \leq \varepsilon_N$ . С целью ускорения процесса продолжения по параметру  $\varepsilon$  можно применить полиномиальную экстраполяцию для построения начальных приближений  $T_{(0)}(\varepsilon_i), p_{(0)}(\varepsilon_i)$ , в частности, линейную или параболическую аппроксимацию кривых  $T(\varepsilon), p(\varepsilon)$  на интервале  $\varepsilon_i \leq \varepsilon \leq \varepsilon_i + \delta\varepsilon_i$ . Аналогично строится "левая половина" предельного цикла; она является центрально симметричной кривой по отношению к построенной.

Наряду с определением решения согласно (3.1)–(3.5), аналогично может быть построена "нижняя половина" предельного цикла на фазовой плоскости  $(u, v)$ . Нелинейной краевой задаче на интервале  $0 \leq \theta \leq \Theta/2$  соответствуют условия

$$u'(0) = u'(\Theta/2) = 0, \quad T = T(\varepsilon), \quad u(0) = A(\varepsilon) = -u(\Theta/2) \quad (3.6)$$

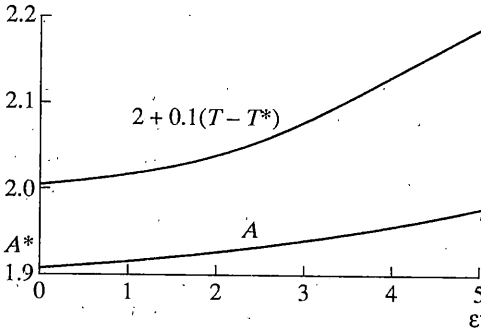
При  $\varepsilon = \varepsilon_1 \ll 1$  начальные приближения  $T_{(0)}(\varepsilon_1), A_{(0)}(\varepsilon_1)$  неизвестных  $T(\varepsilon_1), A(\varepsilon_1)$  определены формулами (2.3), (2.4), см. также (3.3). Алгоритм ускоренной сходимости для уточнения неизвестных  $T(\varepsilon), A(\varepsilon), \varepsilon \in \{\varepsilon_i\}$  имеет вид:

$$\begin{aligned} T_{(n+1)}(\varepsilon) &= T_{(n)}(\varepsilon) + \delta T_{(n)}(\varepsilon), \quad A_{(n+1)}(\varepsilon) = A_{(n)}(\varepsilon) + \delta A_{(n)}(\varepsilon) \\ T_{(0)}(\varepsilon_1) &= T^*, \quad A_{(0)}(\varepsilon_1) = A^* \\ \delta T_{(n)}(\varepsilon) &= [U'_n(W_n + 1) - (A_{(n)} + U_n)W'_n] / \Delta_n \\ \delta A_{(n)}(\varepsilon) &= [(A_{(n)} + U_n)Z'_n - U'_n Z_n] / \Delta_n \\ \Delta_n &= Z_n W'_n - Z'_n (W_n + 1) \neq 0, \quad n = 0, 1, 2, \dots \end{aligned} \quad (3.7)$$

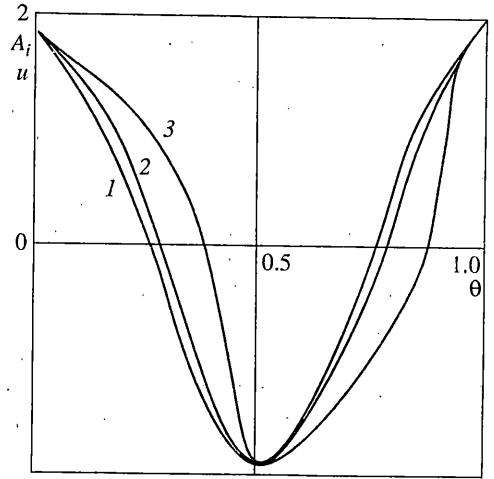
Здесь коэффициенты чувствительности  $W_n, Z_n, W'_n, Z'_n$  и невязки решения  $U_n + A_{(n)}, U'_n$  при  $\theta = \Theta/2$  на каждом шаге  $n$  определяются как высокоточное решение задачи Коши для уравнений (3.5) с начальными условиями вида:

$$\begin{aligned} u(0) &= A_{(n)}(\varepsilon), \quad u'(0) = 0, \quad T_{(n)} = T_{(n)}(\varepsilon), \quad \varepsilon \in \{\varepsilon_i\} \\ w &= \partial u / \partial A, \quad w(0) = 1, \quad w'(0) = 0 \\ z &= \partial u / \partial T, \quad z(0) = z'(0) = 0 \\ U_n &= U(\Theta/2, T_{(n)}, A_{(n)}, \varepsilon), \quad W_n = W(\Theta/2, T_{(n)}, A_{(n)}, \varepsilon), \quad Z_n = Z(\Theta/2, T_{(n)}, A_{(n)}, \varepsilon) \end{aligned} \quad (3.8)$$

Относительно сходимости алгоритма (3.5)–(3.8) справедливы вышеизложенные замечания, относящиеся к построению "правой" или "левой" половины предельного цикла. Отметим, что при построении центрально симметричной "верхней половины" цикла краевое условие (3.6) для  $u$  принимает вид  $u(0) = -A(\varepsilon) = -u(\Theta/2)$ ; вычисления проводятся сходным образом.



Фиг. 1



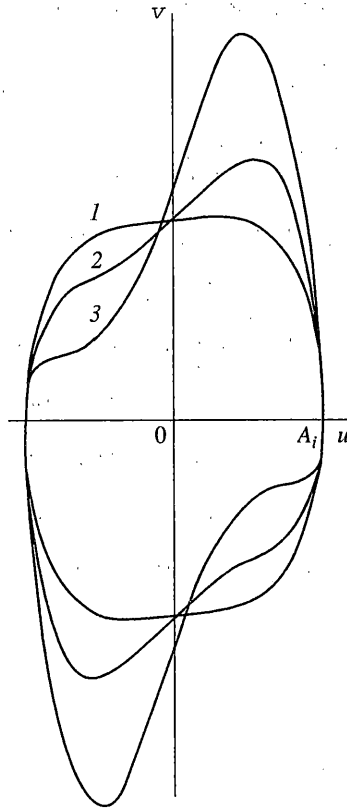
Фиг. 2

**4. Результаты расчетов и выводов.** Основное внимание было уделено расчету и анализу автоколебаний для случая кубической нелинейности, т.е.  $k = 2$ . Вычисления по формулам (2.3), (2.4) приводят к невозмущенным значениям амплитуды  $A^* = 1.90982$  и периода  $T^* = 3.88325$ , т.е. значениям  $A(\epsilon)$ ,  $T(\epsilon)$  при  $\epsilon \rightarrow +0$ . Эти величины принимаются в качестве начальных приближений для примененного второго алгоритма расчетов по методу ускоренной сходимости согласно (3.5)–(3.8) при  $\epsilon = \epsilon_1 = 0.1$ . Затем применялась процедура продолжения по параметру с шагом  $\delta\epsilon = 0.5$ , параметр  $\epsilon$  изменялся в пределах  $0 \leq \epsilon \leq 5$ . Расчеты проводились с абсолютной и относительной погрешностью  $10^{-5}$ – $10^{-6}$ . Результаты высокоточных расчетов величин  $T(\epsilon)$  и  $A(\epsilon)$  представлены в таблице. Для наглядности на фиг. 1 представлены графики этих кривых, которые свидетельствуют о том, что амплитуда автоколебаний  $A(\epsilon)$  очень медленно возрастает при увеличении  $\epsilon$ , причем относительное изменение не превышает 3% на указанном интервале  $0 \leq \epsilon \leq 5$ , см. также таблицу. Однако период автоколебаний  $T(\epsilon)$  изменяется (возрастает) существенно, примерно в 1.43 раза, т.е. на 43%. При асимптотическом возрастании параметра  $\epsilon$  ( $\epsilon \rightarrow \infty$ ) могут быть получены согласно [8] соответствующие приближенные выражения для  $A(\epsilon)$ ,  $T(\epsilon)$ .

$\epsilon$	0.1	1	2	3	4	5
$T$	3.8841	3.9847	4.2228	4.6137	5.0853	5.5957
$A$	1.9099	1.9107	1.9252	1.9409	1.9558	1.9681

На фиг. 2 приведены зависимости 1, 2, 3 периодического решения  $u(\theta, \epsilon)$  при  $\Theta = 1$  для трех значений параметра  $\epsilon$ :  $\epsilon_1 = 0.1$ ,  $\epsilon_2 = 1$ ,  $\epsilon_3 = 3$ . Для малых значений  $\epsilon$  ( $\epsilon \sim 0.1$ ) траектория описывается эллиптическими функциями Якоби  $u \sim \text{cn}$ , см. [6, 9]. При возрастании коэффициента обратной связи  $\epsilon$  колебания приобретают релаксационный характер [8]. Следует отметить, что вследствие весьма слабой зависимости, т.е. постоянства амплитуды  $A(\epsilon)$ , кривые  $u(\theta, \epsilon_i)$  практически сливаются вблизи точек максимумов  $\theta = 0$  и минимумов  $\theta = 1/2 \pmod{1}$ .

На фиг. 3 представлено семейство предельных циклов, отвечающих указанным значениям коэффициента  $\epsilon = \epsilon_i$ . При возрастании  $\epsilon$  наблюдается резкое проявление ре-



Фиг. 3

лаксационного характера колебаний: относительно длительные участки движения с малой скоростью, которые сменяются относительно короткими участками движения с большой скоростью, максимум которых также резко возрастает с увеличением  $\epsilon$ .

Аналогичные вышеизложенным расчеты были проведены для случая более сильной, чем  $u^3$  нелинейности возвращающей силы  $k = 3$ , что отвечает  $u^5$  вместо  $u^3$  в уравнениях (1.2), (1.3), (2.1).

Из анализа автоколебаний для различных  $k$  и  $\epsilon$  следуют качественные выводы.

1. Амплитуда автоколебаний  $A(\epsilon)$  слабо зависит от параметра  $\epsilon$ . При возрастании показателя степени  $k \rightarrow \infty$ , как следует из (2.3),  $A \rightarrow (3)^{1/2}$ . С хорошей для приложений точностью величина  $A(\epsilon)$  может быть определена из условия энергетического баланса (2.2), см. (2.3).

2. Период автоколебаний  $T(\epsilon)$  и максимальное значение скорости  $u'$  – резко возрастающие функции  $\epsilon$ ; асимптотику при  $\epsilon \rightarrow \infty$  см. в [8].

3. Сравнение предельных циклов при достаточно больших значениях коэффициента  $\epsilon$  ( $\epsilon \sim 10$ ) свидетельствует, что на их форму относительно слабое влияние оказывает характер возвращающей силы ( $k = 1, 2, 3, \dots$ ). Этот факт следует, по-видимому, из асимптотического анализа [5, 8].

4. Изложенный численно-аналитический метод позволяет также эффективно строить неустойчивые и полуустойчивые предельные циклы для осцилляторов с другими механизмами возбуждения автоколебаний [2–5].

Работа выполнена при финансовой поддержке Российского фонда фундаментальных исследований (проекты 02-01-00252, 02-01-00157).

## СПИСОК ЛИТЕРАТУРЫ

1. Харкевич А.А. Автоколебания. М.: Гостехиздат, 1953. 170 с.
2. Андронов А.А., Витт А.А., Хайкин С.Э. Теория колебаний. М.: Физматгиз, 1959. 916 с.
3. Андронов А.А., Леонтович Е.А., Гордон И.И., Майер А.Г. Качественная теория динамических систем второго порядка. М.: Наука, 1966. 568 с.
4. Лефшиц С. Геометрическая теория дифференциальных уравнений. М.: Изд-во иностр. лит., 1961. 388 с.
5. Боголюбов Н.Н., Митропольский Ю.А. Асимптотические методы в теории нелинейных колебаний. М.: Наука, 1974. 503 с.
6. Каудерер Г. Нелинейная механика. М.: Изд-во иностр. лит., 1961. 778 с.
7. Блэкьер О. Анализ нелинейных систем. М.: Мир, 1969. 400 с.
8. Мищенко Е.Ф., Розов Н.Х. Дифференциальные уравнения с малым параметром и релаксационные колебания. М.: Наука, 1975. 248 с.
9. Волосов В.М., Моргунов Б.И. Метод осреднения в теории нелинейных колебательных систем. М.: Изд-во МГУ, 1971. 507 с.
10. Акуленко Л.Д. Асимптотические методы оптимального управления. М.: Наука, 1987. 365 с.
11. Малкин И.Г. Некоторые задачи теории нелинейных колебаний. М.: Гостехиздат, 1956. 491 с.
12. Акуленко Л.Д., Нестеров С.В., Шматков А.М. Обобщенные параметрические колебания механических систем // ПММ. 1999. Т. 63. Вып. 5. С. 746–756.

Москва

Поступила в редакцию  
20.06.2000